

ОПТИМИЗАЦИЯ ПРОЧНОСТИ СЛОИСТОЙ ОРТОТРОПНОЙ ПЛАСТИНКИ ПРИ ВОЗДЕЙСТВИИ АКУСТИЧЕСКОЙ ВОЛНЫ ДАВЛЕНИЯ

АЗАТЯН Л. Д. АВЕТИСЯН Д. К.

В настоящее время значительное развитие получили вопросы нестационарного взаимодействия акустических волн давления с тонкостенными элементами конструкций. Исследования по этим вопросам в большинстве случаев касаются изотропных пластин и оболочек. В то же время в связи со все более широким применением конструкций из композиционных материалов (КМ) становится важным исследование взаимодействия ударных волн с конструкциями из КМ.

В [1] рассмотрена оптимизационная задача взаимодействия экспоненциально затухающей волны давления со слоистой ортоэллиптической пластинкой при ограничении на жесткость.

В настоящей работе рассматривается оптимизационная задача нестационарного взаимодействия ортоэллиптической пластинки с плоской акустической волной давления при ограничении на прочность, которая приводится к задаче нелинейного программирования, решаемой методом последовательной безусловной минимизации (МПБМ) в сочетании с методом Хука-Джикса для безусловной минимизации [2].

1. Рассматривается поведение прямоугольной ортоэллиптической пластинки, заключенной в безграничном жестком плоском экране, под действием акустической ударной волны, фронт которой параллелен поверхности пластинки. Пластинка изготовлена из $(2r + 1)$ числа слоев, симметрично расположенных относительно срединной плоскости. Акустическая среда, примыкающая к пластинке, характеризуется плотностью ρ и скоростью звука c . Падающая волна, взаимодействуя с пластинкой, рождает отраженную, а также излученную волну, обусловленную деформацией пластинки. Если ограничиться рассмотрением слабых ударных волн, то для описания распространяющихся в акустической среде возмущений можно пользоваться соотношениями акустической модели. Тогда искомая нагрузка, действующая на пластинку, определяется формулой

$$P = -\rho \left(\frac{\partial \Phi_0}{\partial t} + \frac{\partial \Phi}{\partial t} \right)_{z=0} \quad (1.1)$$

где Φ_0 — потенциал падающей волны, а Φ — потенциал отраженных и излученных волн. Функция Φ удовлетворяет волновому уравнению

$$\Delta \varphi = \frac{1}{c^2} \frac{\partial^2 \varphi}{\partial t^2} \quad (1.2)$$

где Δ — оператор Лапласа.

До начала работы источника акустическая среда находится в состоянии покоя и начальные условия принимаются однородными

$$\varphi \Big|_{t=0} = \frac{\partial \varphi}{\partial t} \Big|_{t=0} = 0 \quad (1.3)$$

На поверхности пластиинки должно выполняться граничное условие

$$\frac{\partial (z_0 + \varphi)}{\partial z} \Big|_{z=0} = - \frac{\partial w}{\partial t} \quad (1.4)$$

Условие затухания потенциала φ на бесконечности записывается в виде

$$\varphi \rightarrow 0 \text{ при } z \rightarrow \infty \quad (1.5)$$

Для описания изгиба пластиинки воспользуемся уравнением

$$D_{11} \frac{\partial^4 w}{\partial x^4} + 2(D_{12} + 2D_{66}) \frac{\partial^4 w}{\partial x^2 \partial y^2} + D_{66} \frac{\partial^4 w}{\partial y^4} + m_0 \frac{\partial^2 w}{\partial t^2} = P \quad (1.6)$$

где

$$D_{ik} = \frac{2}{3} \left[B_{ik}^{(r+1)} h_{r+1}^3 + \sum_{j=1}^r B_{ik}^{(j)} (h_j^3 - h_{j+1}^3) \right]$$

$$m_0 = \frac{2}{g} \left[\gamma_{r+1} h_{r+1} + \sum_{j=1}^r \gamma_j (h_j - h_{j+1}) \right]$$

Здесь w — прогиб пластиинки, $B_{ik}^{(j)}$ — коэффициенты упругости, γ_j — удельный вес j -го слоя, h_j — расстояние j -го слоя от срединной плоскости пластиинки, которая одновременно является срединной плоскостью среднего $(r+1)$ -го слоя [3].

Уравнение (1.6) необходимо дополнить граничными условиями, зависящими от характера крепления пластиинки. В случае шарнирного закрепления краев пластиинки функция прогиба w и потенциалы φ_0 , φ представляются в виде

$$w(t, x, y) = \sum_m \sum_n w_{mn}(t) \sin i_m x \sin \mu_n y$$

$$\varphi_0(t, x, y, z) = \sum_m \sum_n \varphi_{0mn}(t, z) \sin i_m x \sin \mu_n y \quad (1.7)$$

$$\varphi(t, x, y, z) = \sum_m \sum_n \varphi_{mn}(t, z) \sin i_m x \sin \mu_n y$$

где

$$i_m = \frac{m\pi}{a}, \quad \mu_n = \frac{n\pi}{b}$$

Предположим, что в акустической среде в направлении оси z движется плоская экспоненциально затухающая волна давления, которая в момент $t = 0$ достигает поверхности пластинки. Потенциал падающей волны выбирается в виде

$$\varphi_0 = \frac{P_0 a}{pcz} \exp(-z(z + \bar{z})) H(z + \bar{z}) \quad (1.8)$$

где $\tau = \frac{ct}{a}$, $\bar{z} = \frac{z}{a}$, P_0 — давление на фронте волны, a — постоянная, определяющая скорость падения давления за фронтом волны, H — функция Хевисайда.

2. Волновое уравнение (1.2) решается применением интегрального преобразования Лапласа по времени. При этом трансформируется также граничное условие (1.4) на поверхности пластиинки. В области изображений волновой потенциал описывается уравнением

$$\Delta \varphi^* = \frac{s^2}{c^2} \varphi^* \quad (2.1)$$

а условие (1.4) записывается в виде

$$\frac{\partial}{\partial z} (\varphi_0^* + \varphi^*)|_{z=0} = -sw^* \quad (2.2)$$

В (2.1) и (2.2) звездочкой обозначены преобразованные по Лапласу функции, s — параметр преобразования. Решение уравнения (2.1), удовлетворяющее условиям (1.5), (2.2), записывается следующим образом:

$$\varphi^* = \sum_m \sum_n \frac{\exp\left(-\sqrt{k^2 + \frac{s^2}{c^2}} z\right)}{\sqrt{k^2 + \frac{s^2}{c^2}}} \left(sw_m^* + \frac{\partial \varphi_m^*}{\partial z} \right) \sin \lambda_m x \sin \mu_n y \quad (2.3)$$

$$\text{где } k^2 = \left(\frac{m^2}{a^2} + \frac{n^2}{b^2}\right) \pi^2.$$

При переходе к оригиналам с помощью теоремы о свертке функций исходная величина P , согласно (1.1), получается в виде

$$P = -\rho \sum_m \sum_n \left\{ \frac{\partial \varphi_{0mn}}{\partial t} + c \frac{\partial}{\partial t} \int_0^t \frac{\partial w_{mn}(t)}{\partial t} J_0[k_1(t - \tau_1)] d\tau_1 + \right. \\ \left. + c \frac{\partial}{\partial t} \int_0^t \frac{\partial \varphi_{0mn}(\tau_1, z)}{\partial z} \Big|_{z=0} J_0[k_1(t - \tau_1)] d\tau_1 \right\} \sin \lambda_m x \sin \mu_n y \quad (2.4)$$

Здесь J_0 — бесселева функция первого рода, $k_1^2 = k^2 c^2$. На основе гипотезы плоского отражения [4]

$$\frac{\partial \varphi}{\partial z} = - \frac{1}{c} \frac{\partial \varphi}{\partial t} \Big|_{z=0}$$

соотношение (2.4) упрощается и представляется в виде

$$P = -\rho \sum_m \sum_n \left(2 \frac{\partial \varphi_{0mn}}{\partial t} + c \frac{\partial w}{\partial t} \right)_{z=0} \sin \lambda_m x \sin \mu_n y \quad (2.5)$$

Подставляя (1.7) в уравнение движения пластиинки (1.6) и учитывая (2.5), получим

$$\frac{d^2 w_{mn}}{dt^2} + 2\beta \frac{dw_{mn}}{dt} + \omega_0^2 w_{mn} = -2 \frac{\rho}{m_0} \frac{\partial \varphi_{0mn}}{\partial t} \Big|_{z=0} \quad (2.6)$$

Здесь

$$\beta = \frac{c\rho}{m_0}, \quad \omega_0^2 = \frac{\pi^4}{m_0} \left| \frac{D_{11}m^4}{a^4} + \frac{2(D_{12} + 2D_{66})}{a^2 b^2} + \frac{D_{22}n^4}{b^4} \right|$$

Решение уравнения (2.6) при $\beta^2 - \omega_0^2 > 0$

$$w_{mn} = \frac{32 P_0}{m_0 \pi^2} \frac{\exp(-\beta t) (\omega_{mn}^{(1)} \operatorname{ch} \omega_{mn}^{(1)} t - \gamma \operatorname{sh} \omega_{mn}^{(1)} t) - \omega_{mn}^{(1)} \exp\left(-\frac{\alpha c t}{a}\right)}{mn \omega_{mn}^{(1)} [(\omega_{mn}^{(1)})^2 - \gamma^2]} \\ \text{где } \omega_{mn}^{(1)} = (\beta^2 - \omega_0^2)^{1/2}, \text{ при } \beta^2 = \omega_0^2$$

$$w_{mn} = \frac{32 P_0}{m_0 \pi^2 \gamma^2} \exp\left(-\frac{\alpha c t}{a}\right) [\exp(\gamma t) (\gamma t - 1) + 1] \quad (2.7)$$

при $\beta^2 - \omega_0^2 < 0$

$$w_{mn} = \frac{32 P_0}{m_0 \pi^2} \frac{\exp(-\beta t) (\gamma [\sin \omega_{mn}^{(2)} t - \omega_{mn}^{(2)} \cos \omega_{mn}^{(2)} t] + \omega_{mn}^{(2)} \exp\left(-\frac{\alpha c t}{a}\right))}{mn \omega_{mn}^{(2)} [(\omega_{mn}^{(2)})^2 + \gamma^2]}$$

где $\omega_{mn}^{(2)} = i\omega_{mn}^{(1)}$. Здесь $\gamma = \frac{\alpha c}{a} - \beta$.

Через w выражаются все расчетные величины.

Пусть слои пластиинки изготовлены из элементарных слоев ортотропного КМ, уложенных поочередно под углами $\pm \psi_s$ к одному из главных геометрических направлений пластиинки, s — номер слоя. Напряжения в главных геометрических направлениях пластиинки имеют вид [5]

$$\sigma_{11}^s = -z \left(B_{11}^s \frac{\partial^2 w}{\partial x^2} + B_{12}^s \frac{\partial^2 w}{\partial y^2} + 2B_{16}^s \frac{\partial^2 w}{\partial x \partial y} \right) \\ \sigma_{22}^s = -z \left(B_{12}^s \frac{\partial^2 w}{\partial x^2} + B_{22}^s \frac{\partial^2 w}{\partial y^2} + 2B_{26}^s \frac{\partial^2 w}{\partial y \partial x} \right) \quad (2.8) \\ \tau_{12}^s = -z \left(B_{16}^s \frac{\partial^2 w}{\partial x^2} + B_{26}^s \frac{\partial^2 w}{\partial y^2} + 2B_{66}^s \frac{\partial^2 w}{\partial x \partial y} \right) \\ (s = 1, 2, \dots, r+1)$$

Как следует из (2.8), напряжения вычисляются по формулам для более общего случая, чем ортотропия.

Дело в том, что конструкции, образованные путем симметричной укладки элементарных слоев ортотропного КМ, в целом, можно считать ортотропными, хотя каждый элементарный слой является анизотропным (анизотропия появляется вследствие укладки элементарных слоев КМ под углами $\pm \psi_s$ к главным геометрическим направлениям пластиинки). Это всегда надо учитывать при вычислении напряжений [6].

Напряжения σ_1^s , σ_2^s , τ_{12}^s в элементарных слоях КМ определяются по известным формулам поворота [5]

$$\begin{aligned}\sigma_1^s &= \sigma_{11}^s \cos^2 \psi_s + \sigma_{22}^s \sin^2 \psi_s + \tau_{12}^s \sin 2\psi_s \\ \sigma_2^s &= \sigma_{11}^s \sin^2 \psi_s + \sigma_{22}^s \cos^2 \psi_s - \tau_{12}^s \sin 2\psi_s \\ \tau_{12}^s &= -\frac{\sigma_{11}^s - \sigma_{22}^s}{2} \sin 2\psi_s + \tau_{12}^s \cos 2\psi_s\end{aligned}\quad (2.9)$$

$$(s = 1, 2, \dots, r+1)$$

Условия прочности для каждого слоя пластиинки берутся в виде [7]

$$\left(\frac{\sigma_1^s}{\sigma_{B1}}\right)^2 + \left(\frac{\sigma_2^s}{\sigma_{B2}}\right)^2 - \frac{\sigma_1^s \sigma_2^s}{\sigma_{B1}^2} + \left(\frac{\tau_{12}^s}{\sigma_{B0}}\right)^2 \leq 1 \quad (2.10)$$

$$(s = 1, 2, \dots, r+1)$$

где σ_{B1} , σ_{B2} , σ_{B0} — константы, которые выражаются через прочностные характеристики материала, соответствующие простейшим деформациям (растяжение и сдвиг).

3. Далее рассматривается оптимизационная задача отыскания углов $\pm \psi_s$ укладки элементарных слоев КМ в слоях пластиинки и распределения безразмерных толщин слоев $\bar{a}_s = h_s/h$, которым соответствует наибольшая несущая способность пластиинки заданного веса при ограничении на прочность. Подставляя (2.9) в (2.10), с учетом (2.7), (2.8) приходим к неравенству вида

$$P_0^2 F(t, x, y, \psi_s, \bar{a}_s) \leq 1 \quad (3.1)$$

где функция F не выписана в явном виде из-за громоздкости. Как следует из (3.1), данная оптимизационная задача эквивалентна следующей: найти

$$F^* = \min_{\psi_s, \bar{a}_s} \max_{t, x, y} F(t, x, y, \psi_s, \bar{a}_s)$$

при

$$0 \leq x \leq a, \quad 0 \leq y \leq b, \quad \sum_{s=1}^{r+1} \bar{a}_s \leq 0.5, \quad \bar{a}_s \geq 0$$

$$0 \leq \psi_s \leq \frac{\pi}{2}, \quad s = 1, 2, \dots, r+1, \quad t \geq 0$$

Нетрудно заметить, что в конечном счете функция F выражается через функцию прогиба $w(t, x, y)$. С учетом выражения (2.7) для коэффициентов w_{mn} функции прогиба w легко видеть, что при $t \rightarrow \infty F \rightarrow 0$. Аналитическое исследование $F(t, x, y, \psi_s, \bar{\alpha}_s)$ как функции от t, x, y при фиксированных $\psi_s, \bar{\alpha}_s$ с целью определения экстремумов сложно ввиду необходимости решения трансцендентных уравнений. Численное же исследование показывает, что с возрастанием t , начиная с точки $t = 0$, в которой $F = 0$, при фиксированных x, y функция F монотонно возрастает, достигает максимума, и затем убывает, претерпевая осцилляции. Первый максимум является глобальным, поэтому, учитывая гладкость F как функции от t , в качестве значения t , доставляющего максимум, берется то, при котором F , впервые меняет знак. При фиксированном t функция $F(t, x, y, \psi_s, \bar{\alpha}_s)$, рассматриваемая как функция от x, y , достигает своего максимума в точке $x = y = \frac{l}{2}$, то есть в центре пластиинки.

Нахождение функции F^* представляет собой задачу нелинейного программирования. Для решения этой задачи применяется метод последовательной безусловной минимизации (МПБМ) в сочетании с методом Хука-Джанса для безусловной минимизации [2].

Для иллюстрации проведены численные исследования для квадратной ($a = b = l$) пластиинки, изготовленной из элементарных слоев материала СВАМ 5:1

$$\left(\rho_{\text{СВАМ}} = 1,85 \cdot 10^3 \frac{\text{кг}}{\text{м}^3}, \quad E_1 = 29,89 \cdot 10^9 \frac{\text{Н}}{\text{м}^2}, \quad E_2 = 18,424 \cdot 10^9 \frac{\text{Н}}{\text{м}^2}, \right. \\ \left. G_{12} = 4,802 \cdot 10^9 \frac{\text{Н}}{\text{м}^2}, \quad \nu_2 = 0,12 \right)$$

и боропластика [8]

$$\left(\rho_{\text{бор}} = 1,95 \cdot 10^3 \frac{\text{кг}}{\text{м}^3}, \quad E_1 = 194,23 \cdot 10^9 \frac{\text{Н}}{\text{м}^2}, \quad E_2 = 19,404 \cdot 10^9 \frac{\text{Н}}{\text{м}^2}, \right. \\ \left. G_{12} = 6,45 \cdot 10^9 \frac{\text{Н}}{\text{м}^2}, \quad \nu_2 = 0,0297 \right)$$

уложенных под углами $\pm \psi_s$ к одному из главных геометрических направлений пластиинки. Рассматривались следующие варианты геометрических размеров пластиинки: $\lambda = h/l = 0,005; 0,01; 0,02; 0,05$. Профиль падающей волны выбирался в виде (1.8) при $\alpha = 0,1; 3$. В качестве внешней среды выбран воздух с акустическими параметрами $\rho = 1,225 \text{ кг}/\text{м}^3, c = 340 \frac{\text{м}}{\text{с}}$. Некоторые из полученных результатов расчета представлены в виде таблиц и графиков на фиг. 1—4.

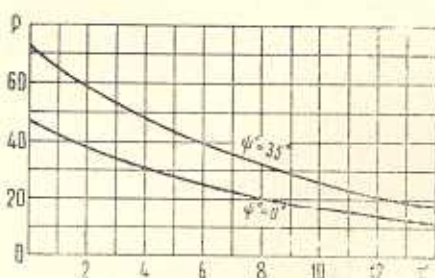
В табл. 1—2 приведены наибольшие \bar{P}_0' и наименьшие \bar{P}_0'' значения безразмерного давления $\bar{P}_0 = P_0/\rho_0 c^2$ на фронте падающей волны и соответствующие им углы укладки ψ' , ψ'' элементарных слоев.

Таблица 1

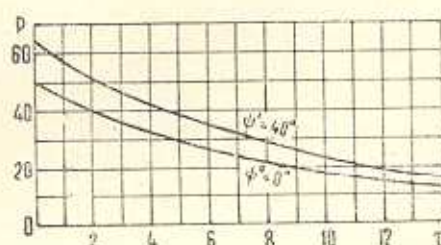
τ	0,1					3			
λ	0,005	0,01	0,02	0,05	0,005	0,01	0,02	0,05	0,05
ψ' (град)	45	45	40; 50	40; 50	45	45	30; 60	40; 50	50
$\bar{P}_0 \cdot 10^4$	0,57	1,56	5,54	31,76	5,01	9,12	20,70	76,30	
ψ'' (град)	90	90	90	90	35; 55	25; 65	20; 70	5; 85	
$\bar{P}_0'' \cdot 10^4$	0,50	1,28	4,31	24,85	4,57	8,55	19,10	60,40	

Таблица 2

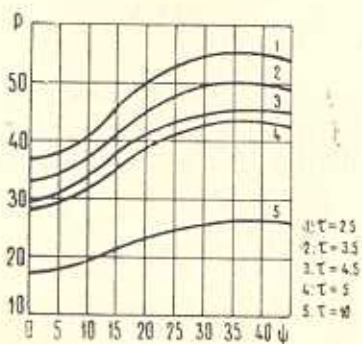
τ	0,1					3			
λ	0,005	0,01	0,02	0,05	0,005	0,01	0,02	0,05	0,05
ψ' (град)	35; 55	35; 55	45		35; 55	40; 50	40; 50	40; 50	35; 55
$\bar{P}_0 \cdot 10^4$	0,51	1,64	6,87	35,96	3,97	7,11	16,60	65,30	
ψ'' (град)	90	90	90	90	5; 85	5; 85	5; 85	5; 85	93
$\bar{P}_0'' \cdot 10^4$	0,33	1,04	4,23	23,21	2,02	3,68	8,98	35,40	



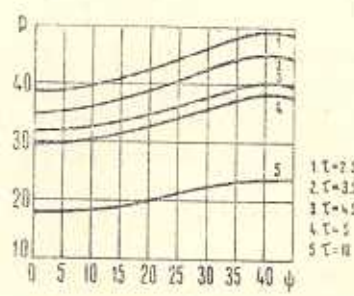
Фиг. 1.



Фиг. 2.



Фиг. 3.



Фиг. 4.

Здесь ρ_0 — плотность материала пластинки. В табл. 1 приведены числовые результаты для пластинки из материала СВАМ 5:1, а в табл. 2 — для пластины из боропластика. Как показывают расчеты, благодаря оптимальному расположению элементарных слоев КМ в пластинке, можно добиться значительного увеличения ее несущей способности, причем для пластины из боропластика можно добиться увеличения несущей способности в 1,4—1,9 раз.

На фиг. 1—2 приведены графики изменения давления P , определяемого по формуле (2.5), на поверхности пластины в зависимости от времени для углов ψ' и ψ'' . Давление P отнесено к величине $10^4 \cdot \rho_0 c^2$. На фиг. 1 показан характер изменения давления P во времени для пластины, изготовленной из боропластика, а на фиг. 2 — для пластины из материала СВАМ 5:1.

Фиг. 3—4 иллюстрируют характер изменения давления на поверхности пластины в зависимости от углов укладки в различные моменты времени. Фиг. 3 соответствует случаю пластины из боропластика, фиг. 4 — пластины из материала СВАМ 5:1. Приведенные графики соответствуют значениям $\lambda = 0,05$, $\alpha = 0,1$.

ՀԵԾՈՎԱՆ ԱԿՈՒՍՏԻԿ ԱՌՔԻ ԱԶԳԵՑՈՒԹՅԱՆ ԴԵՊՔՈՒՄ ԵԵՐՏԱՎՈՐ ՕՐԲՈՏՐՈՒ ՍԱԼԻ ԱՄՐՈՒԹՅԱՆ ՕՊՏԻՄԻԶԱՑԻԱՆ

Լ. Գ. ԱԶԱՏՅԱՆ, Զ. Կ. ԱՎԵՏԻՍՅԱՆ

Ա. մ փ ո ֆ ո ւ մ

Աշխատանքում դիտարկվում է օրթոտրոպ սալի և ճնշման հարթ ակուստիկ ալիքի ոչ ստացիոնար փոխազդեցության օպտիմիզացիոն խնդիրը, սալի ամրության սահմանափակման դեպքում։ Այս խնդիրը բերվում է ոչ գծային ժրագրավորման խնդրին, որը լուծվում է հաջորդական ոչ պայմանական մինիմիզացիայի մեթոդով, գուգակցելով այն Հուկ-Ֆիզմի ոչ պայմանական մինիմիզացիայի մեթոդով։ Հետո։ Հարթ անդրադարձման հիպոթեզի կիրառումով քառակուսի միաշերտ սալի համար ստացված է նրա վրա ազդող հիգրոդինամիկ ճնշման կախվածությունը ժամանակից և կոմպոզիցիոն նյութի ժապավենի փաթաթման անկյունից։

OPTIMIZATION OF STRENGTH OF LAMINATED ORTHOHOTROPIC PLATE EFFECTED BY ACOUSTIC WAVE PRESSURE

L. D. AZATIAN, J. K. AVETISIAN

S u m m a r y

This article deals with the optimization problem of interaction of the orthotropic plate and plane acoustic wave pressure with strength limitation.

The given problem is brought to the task of non-linear programming which is solved by the method of successive absolute minimizing in combination with the method of Hooke-Dzhievs. The dependence of hydrodynamic pressure on time and angles of placing the glass-fibre-reinforced plastic tape in the plate layers is derived by using the hypothesis of plane reflection.

ЛИТЕРАТУРА

1. Азатян А. Д., Гнуни В. Ц., Сейранян С. П. Оптимизационная задача динамического взаимодействия слоистой ортотропной пластины с акустической ударной волной.— Уч. записки ЕГУ, 1980, № 1.
2. Фиакко, Мак-Кормик. Нелинейное программирование, методы последовательной безусловной минимизации. М.: Мир, 1972.
3. Амбарцумян С. А. Расчет слоистых оболочек вращения.— Докл. АН Арм. ССР, 1949, т. II, № 2.
4. Mindlin R. D., Bleich H. H. Response of an elastic cylindrical shell to a transverse step shock wave.—Appl. Mech., 1953, vol. 20, No. 2.
5. Лехницкий С. Г. Теория упругости анизотропного тела. М.: Наука, 1977.
6. Азатян А. Д. К вопросу учета анизотропии и несимметричности расположения элементарных слоев в однородном ортотропном пакете пластин и оболочек из композиционных материалов. Уч. записки ЕГУ, 1981, № 2.
7. Бажанов З. А., Гольденблат И. И. и др. Сопротивление стеклопластиков. М.: Машгиз, 1968.
8. Robert M. Jones. Mechanics of composite materials. Scripta book company W.D.C. 1974.

Институт механики АН Армянской ССР
Лениннаканский филиал Ереванского
политехнического института им. К. Маркса

Поступила в редакцию
6. X. 1982